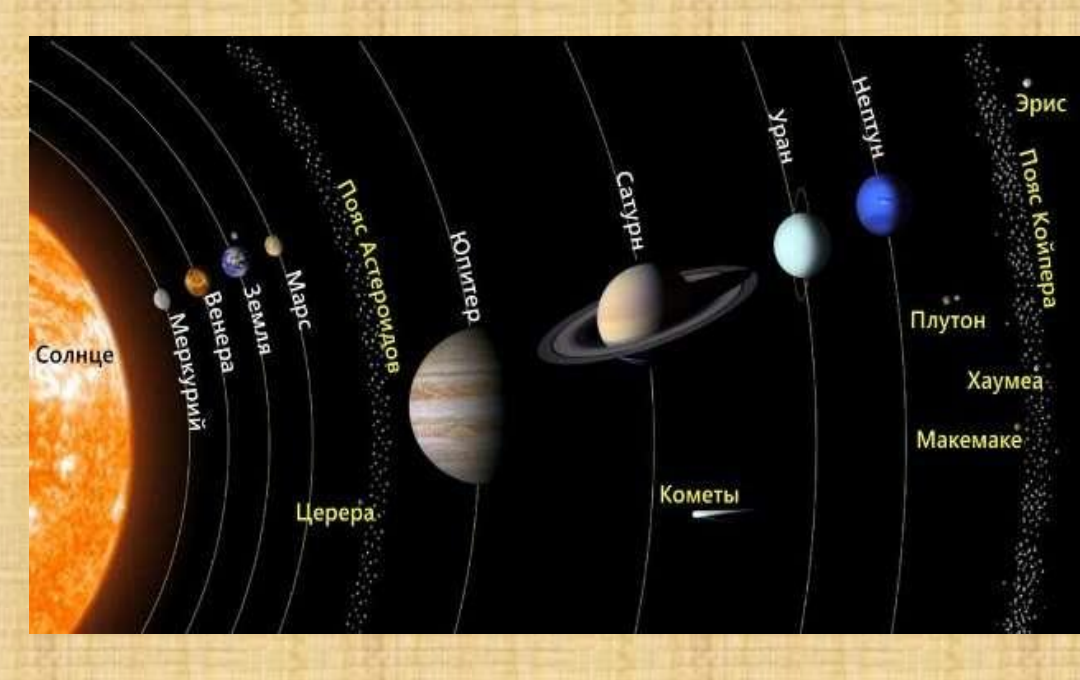
УЧЕНИЕ О ЛИТОСФЕРЕ



1. Планета Земля в космическом пространстве



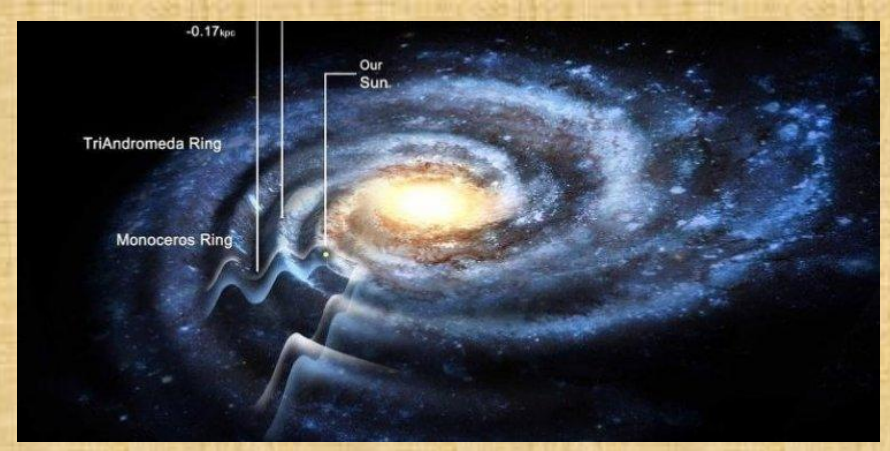




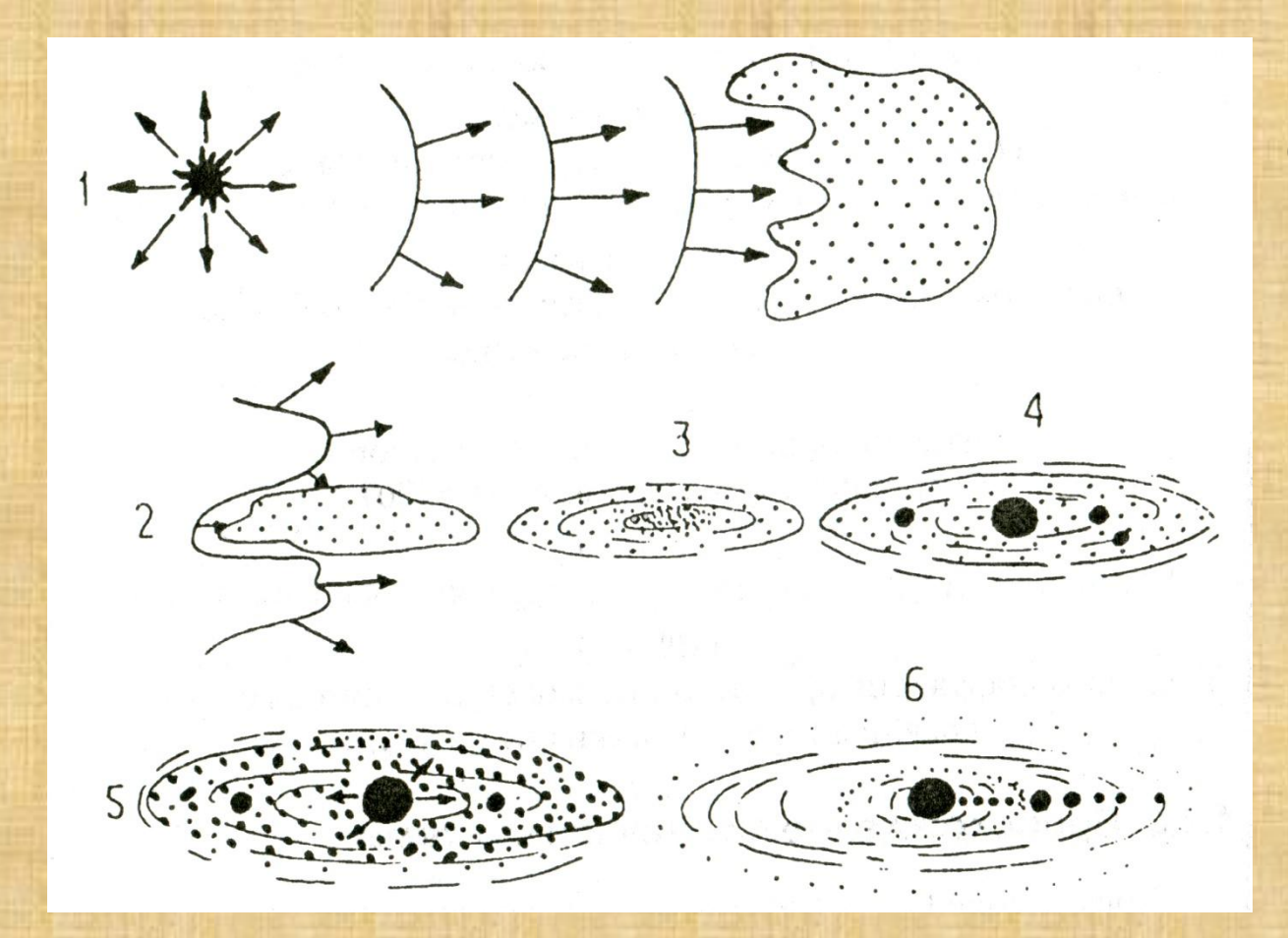
Солнечная система

Солнце - 99,866% всей массы Солнечной системы.

9 планет и их спутники - 0.134% вещества системы (из них – 0.10% - на Юпитер).



Галактика Млечный путь



Состав облака: 99% газа и 1% пылевых частиц размером в микроны

Формирование Солнечной системы:

- 1 взрыв сверхновой звезды порождает ударные волны, воздействующие на газо-пылевое облако (ГПО);
- 2 ГПО начинает фрагментироваться и сплющиваться, закручиваясь при этом;
- 3 первичная солнечная небула; 4 образование Солнца и гигантских, богатых газом планет Юпитера и Сатурна;
- 5 ионизированный газ солнечный ветер сдувает газ из внутренней зоны системы и с мелких планетезималей; 6 образование внутренних планет из планетезималей в течение 100 млн лет и формирование «облаков» Оорта, состоящих из комет (Короновский Н.В., 2002)

Аккреция (от лат. accretio — приращение) — процесс увеличения размеров неорганического тела путём его наращивания по периферии раздробленным или деформированным, расплавленным, растворённым веществом из окружающего пространства. Термин широкого и многозначного использования.

Аккреция планеты— конденсация обломочных частиц протопланетного облака в массивное тело планеты.

Различают *гомогенную аккрецию* с сохранением однородного состава планеты на протяжении большей части процесса и

гетерогенную аккрецию с изменением состава наращиваемых оболочек. (Горная энциклопедия, 1984, стр. 79)

Зональная гипотеза аккреции протовещества (В. Рудник, Э. Соботович (1973)) «Центром» конденсации Земли служили крупные реликтовые фрагменты типа железных (возможно, каменных и ледяных) астероидов, практически не содержащих радиоактивности.

По мере расходования крупных реликтовых тел уменьшался вызываемый ими общий термальный эффект на поверхности растущей Земли и над возникшим расплавом (пластичное ядро) образовалась термоизоляционная покрышка (нижняя мантия). Таким образом были сформированы протогеосферы Земли — твердое внутреннее ядро и твердая холодная мантия, между которыми, как в термосе, сохранился расплав (В.В. Орлёнок. Основы геофизики, 2000).

Процесс аккреции, столкновения планетезималей размером до 1000 км сопровождался большим выделением энергии с сильным прогревом формирующейся планеты, её дегазацией, т.е. выделением летучих компонентов, содержащихся в падавших планетезималях. Большая часть летучих при этом безвозвратно терялась в межпланетном пространстве.

Предполагается, что процесс становления Земли длился около 500 млн лет и проходил в **3 фазы аккреции**.

В течение первой (главной фазы) Земля сформировалась на 93-95% и эта фаза закончилась к рубежу 4.-4.5 млрд лет.

Вторая фаза длилась около 200 млн лет.

Третья фаза продолжительностью до 400 млн лет (3.8-3.9 млрд лет окончание) сопровождалась мощной метеоритной бомбардировкой.

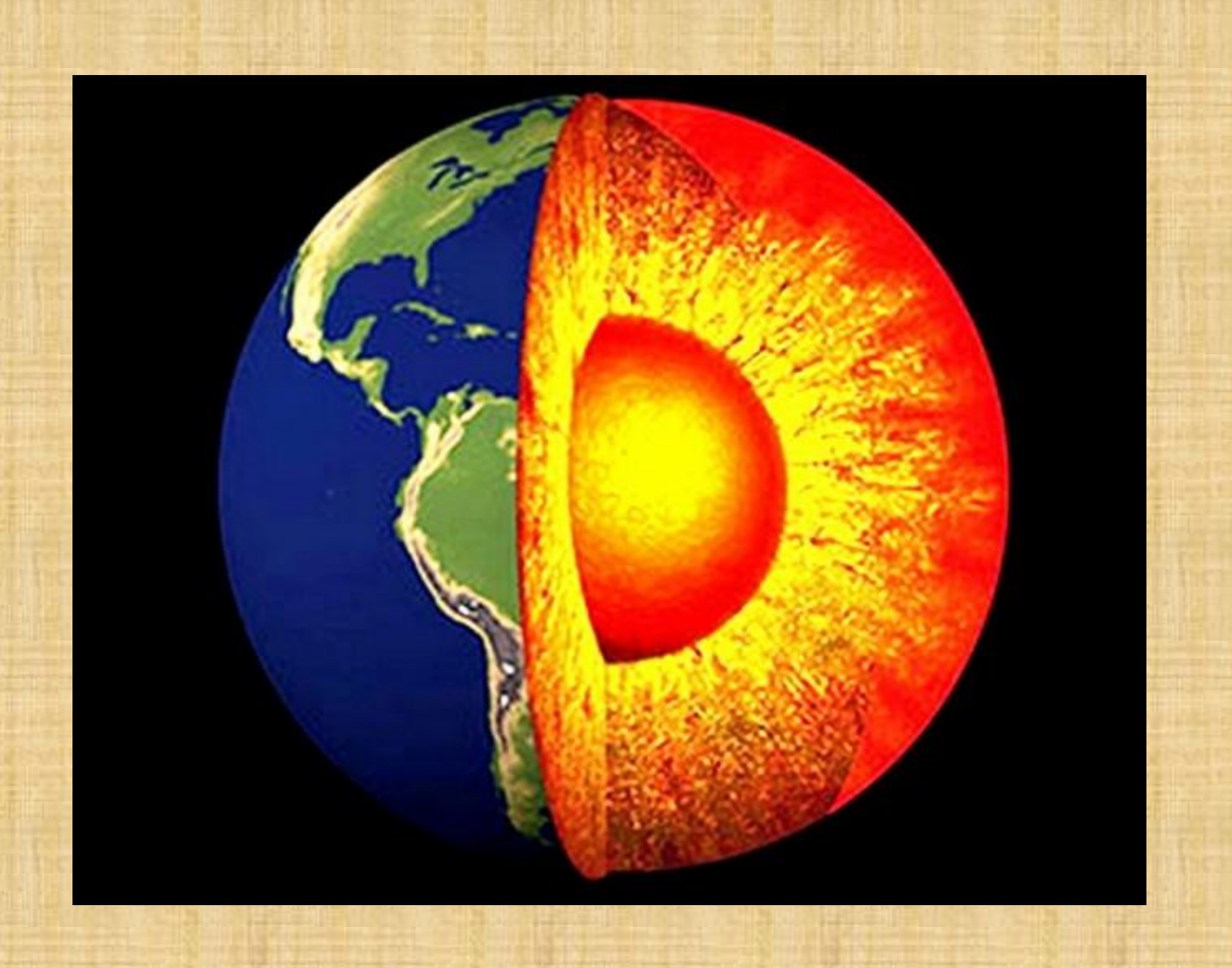


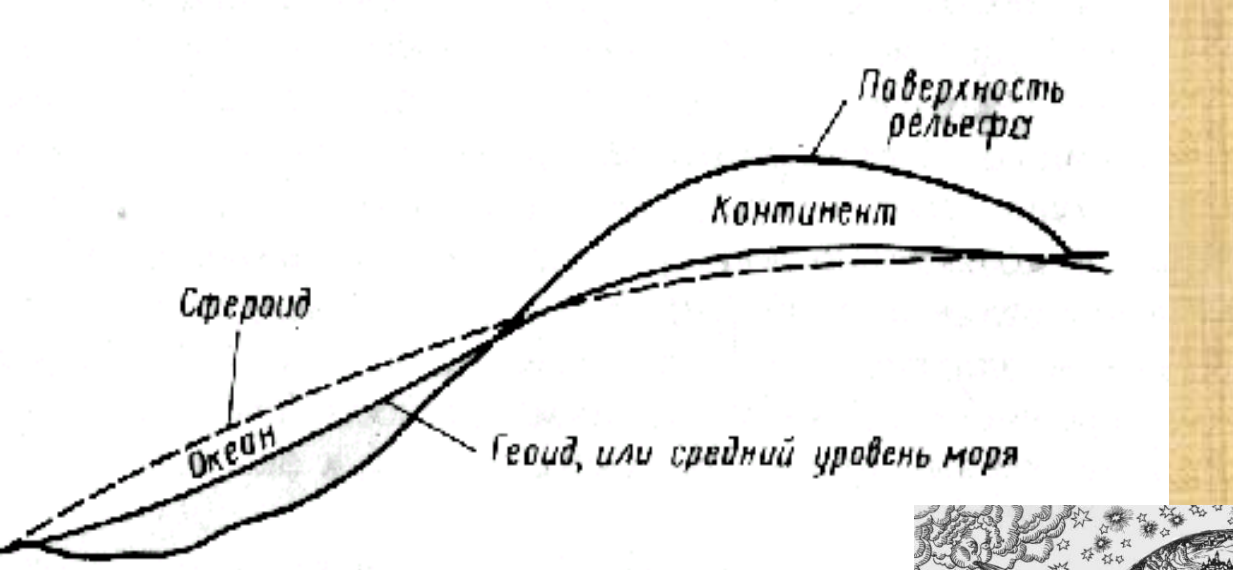
Горячая аккреция Земли (www. kidaroomy. com)



Примерно так выглядела поверхность Земли первые миллионы лет после её образования

2. Строение и состав Земли



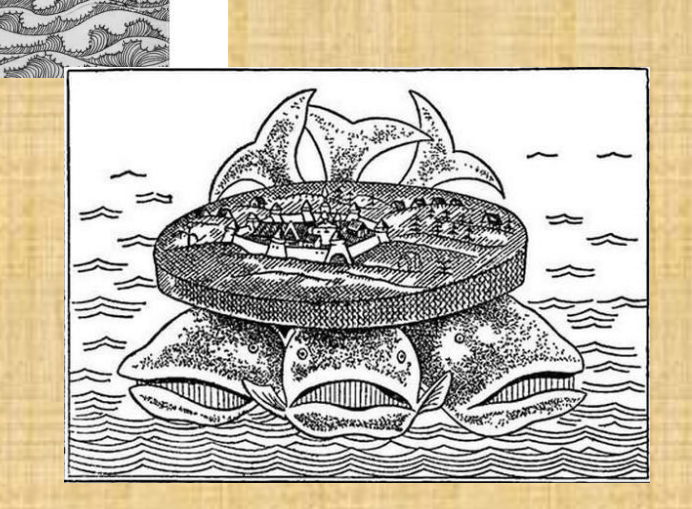


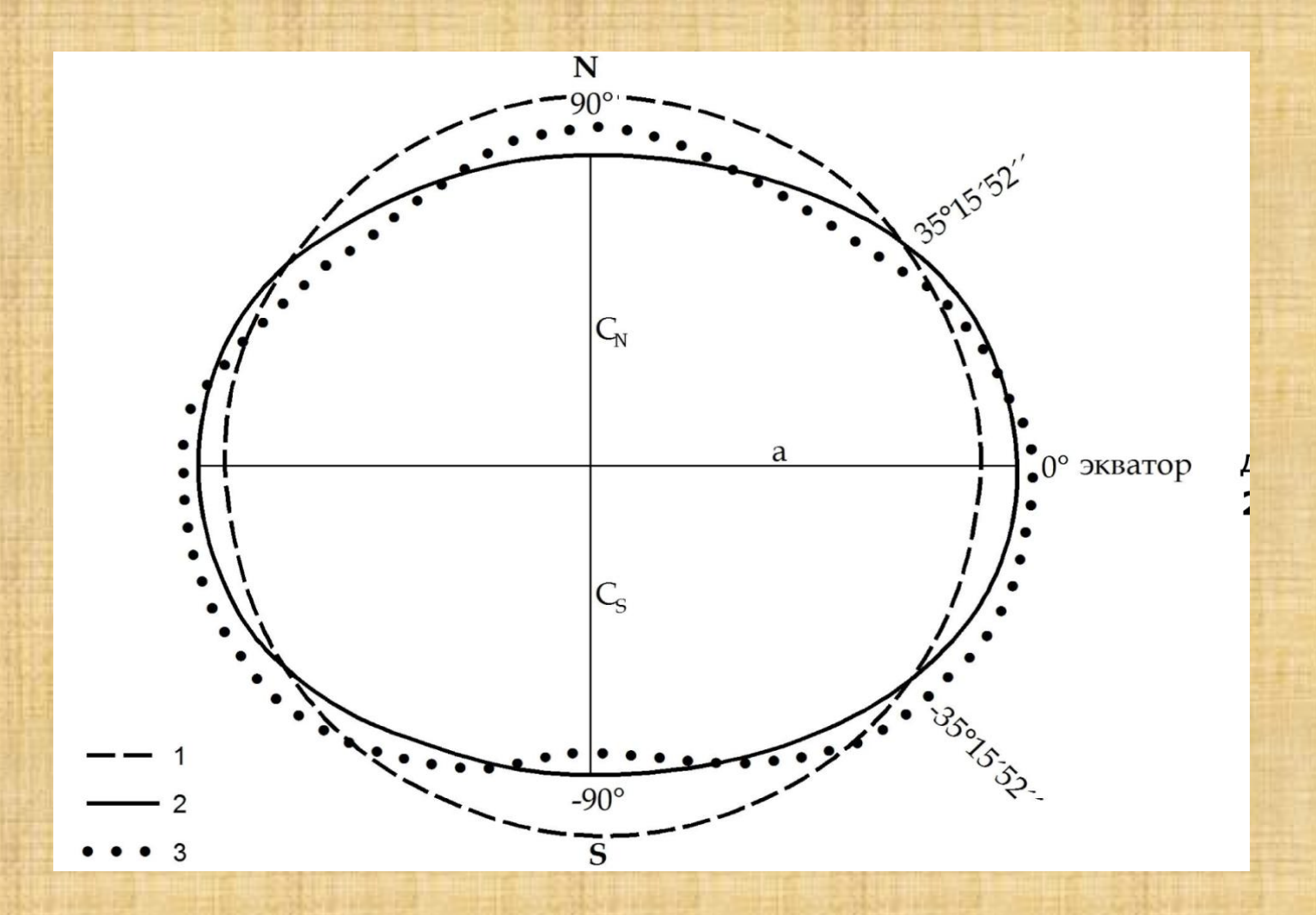
Эллипсоид вращения

Поверхность рельефа, сфероида и геоида



Первая фотография Земли из космоса (Г.С. Титов, 1961 г.)





Соотношение шара, двухосного геоида и кардиоида, по Г.Н. Каттерфельду: 1 — шар, 2 — геоид, 3 - кардиоид

Эллипсоид Ф.Н.Красовского и его учеников (А.А. Изотова и др.) основные параметры подтверждаются современными геологическими, геофизическими исследованиями и с орбитальных станций.

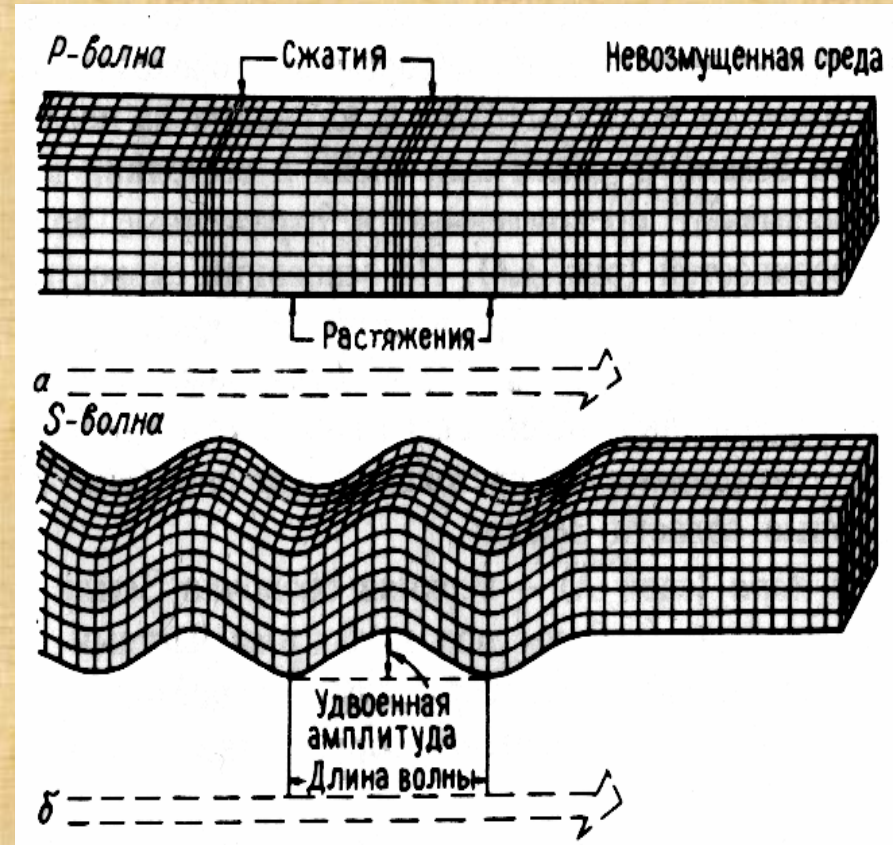
Экваториальный радиус Земли - 6 378,245 км, полярный радиус – 6 356,863 км, полярное сжатие – 1/298,25.

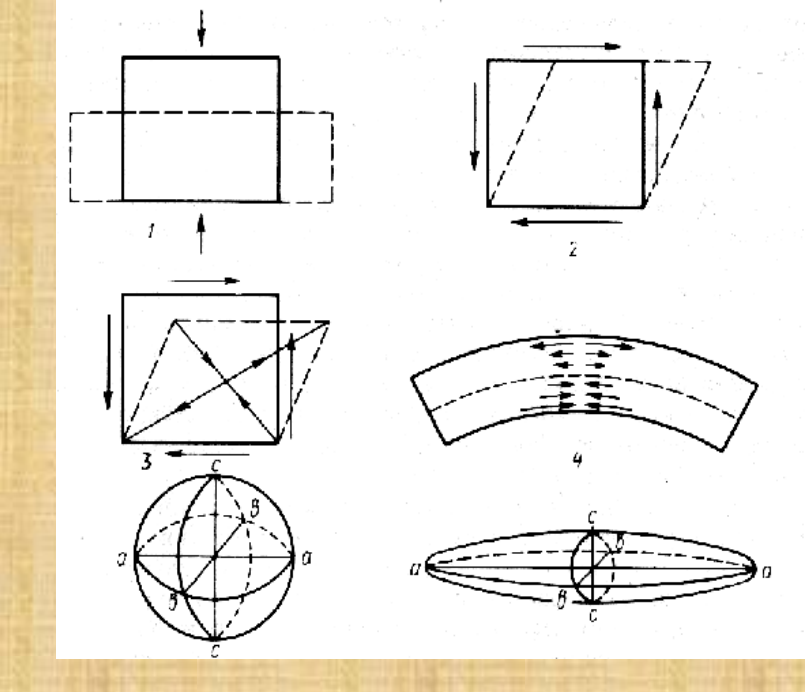
Объем Земли -1,083×10¹² км³, масса -6×10^{27} г.

Ускорение силы тяжести на полюсе составляет 983 см/с², на экваторе - 978 см/с².

Площадь поверхности Земли около 510 млн. км², из которых 70,8% представляет Мировой океан и 29,2% – суша.

Распределение океанов и материков: в Северном полушарии соотношение составляет 61 и 39%, в Южном – 81 и 19%.





Два типа объемных сейсмических волн (по Б. Болту):

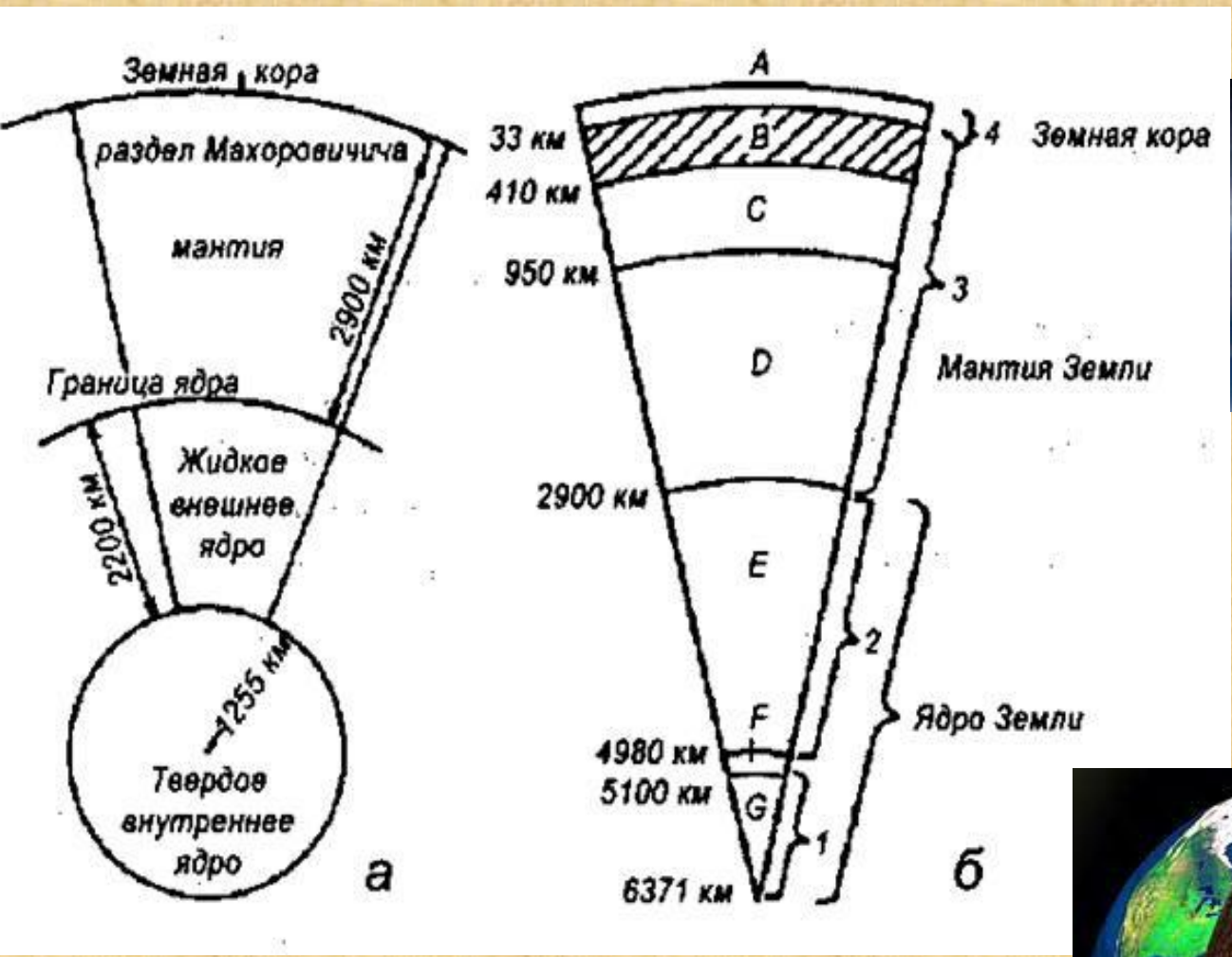
а – сжатие-растяжение, б – удвоенная амплитуда; Р-волна – продольная (первичная – primary), S-волна – поперечная (вторичная – secondary)

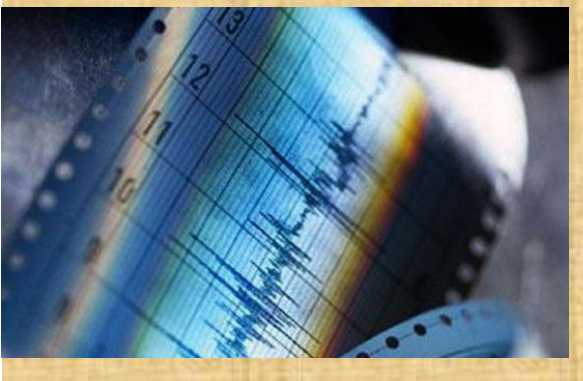
2- простой сдвиг, 3- чистый сдвиг; неоднородная деформация: 4- изгиб; Эллипсоид деформации: 5- первоначальная форма тела (шар), 6- после деформации шар превратил эллипсоид. Оси

главные оси деформации

эллипсоида -







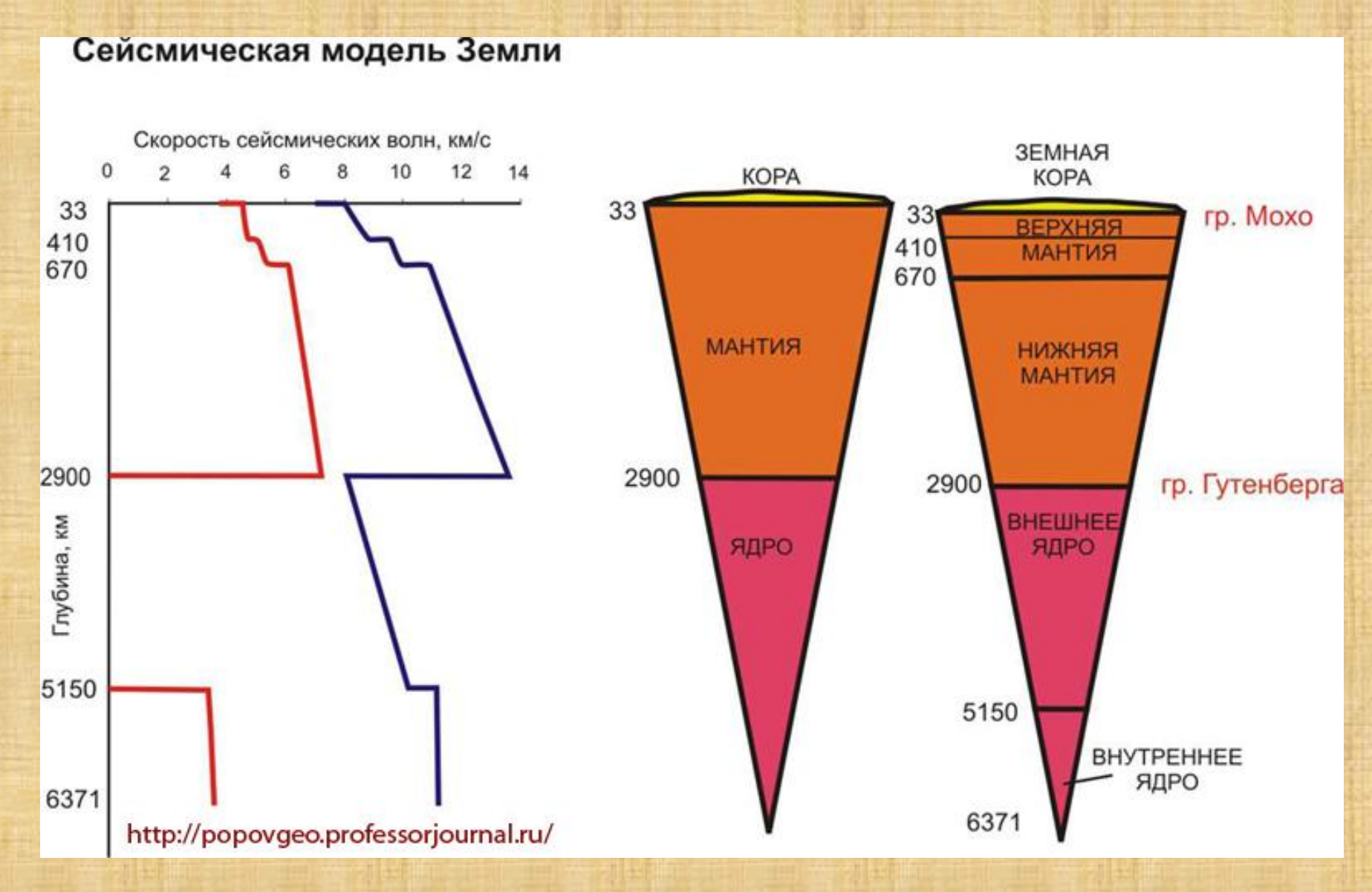
Сейсмограмма

Внутреннее строение Земли. Оболочки Земли, выделенные по распространению сейсмических волн (а-горизонтальный разрез; б-вертикальный разрез)



Данные о сейсмических разделах 1-го порядка

Слои	Мощность, км	Глубина раздела, км	Объем, %	Скорость сейсмических волн, км/с	
				Р-волны	S-волны
Земная кора	5-40 (70)	Изменчива	1,5	6,5-7,0 (7,4)	3,7-3,8
				Раздел Мохоровичича	
				7,9-8,2	4,5-4,7
Мантия	2860		82,3	13,6	7,2-7,3
Граница ядра		2900		Раздел Гутенберга	
				8,1	нет
Внешнее ядро	2220		15,4	10,4	
		5120		Граница внешнего и внутреннего ядер	
				11,1	
Внутреннее	12,50		0,8	THE WAR	
ядро		6371		11,3	



Красный цвет – скорость распространения поперечных волн (S-волн), синий цвет - скорость распространения продольных волн (P-волн)



Строение планет земной группы

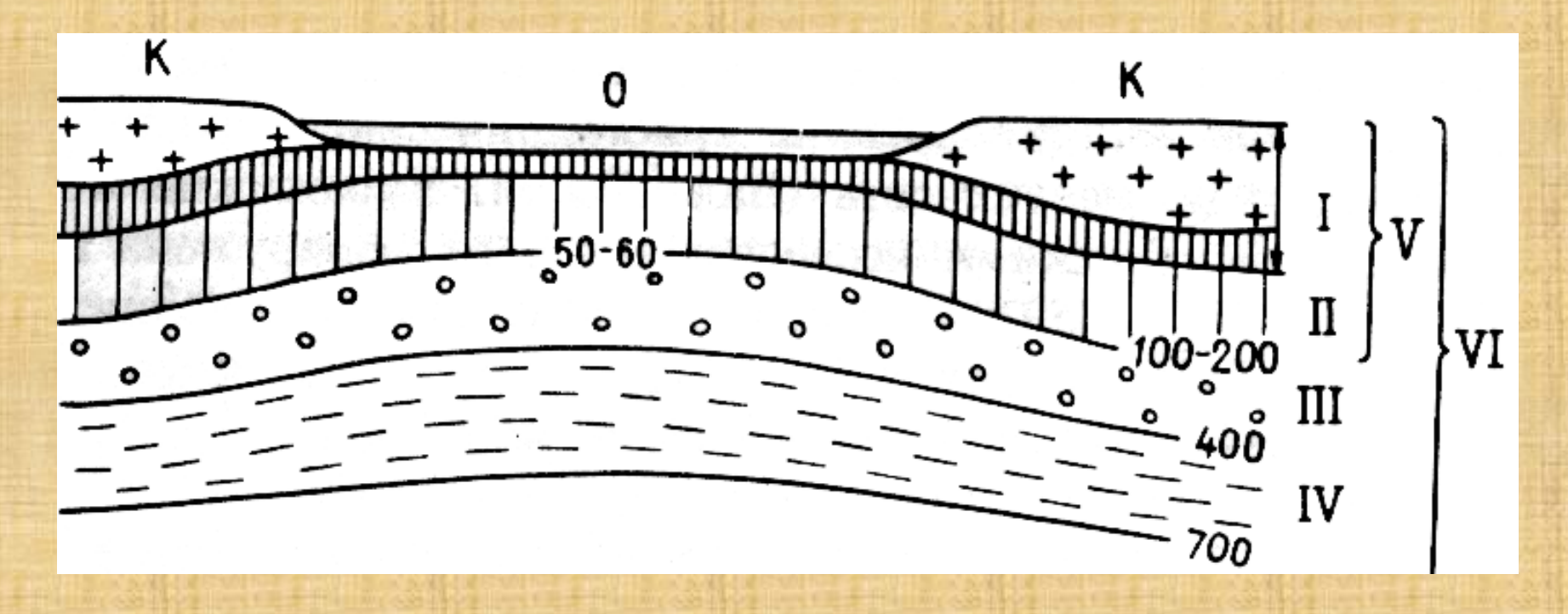
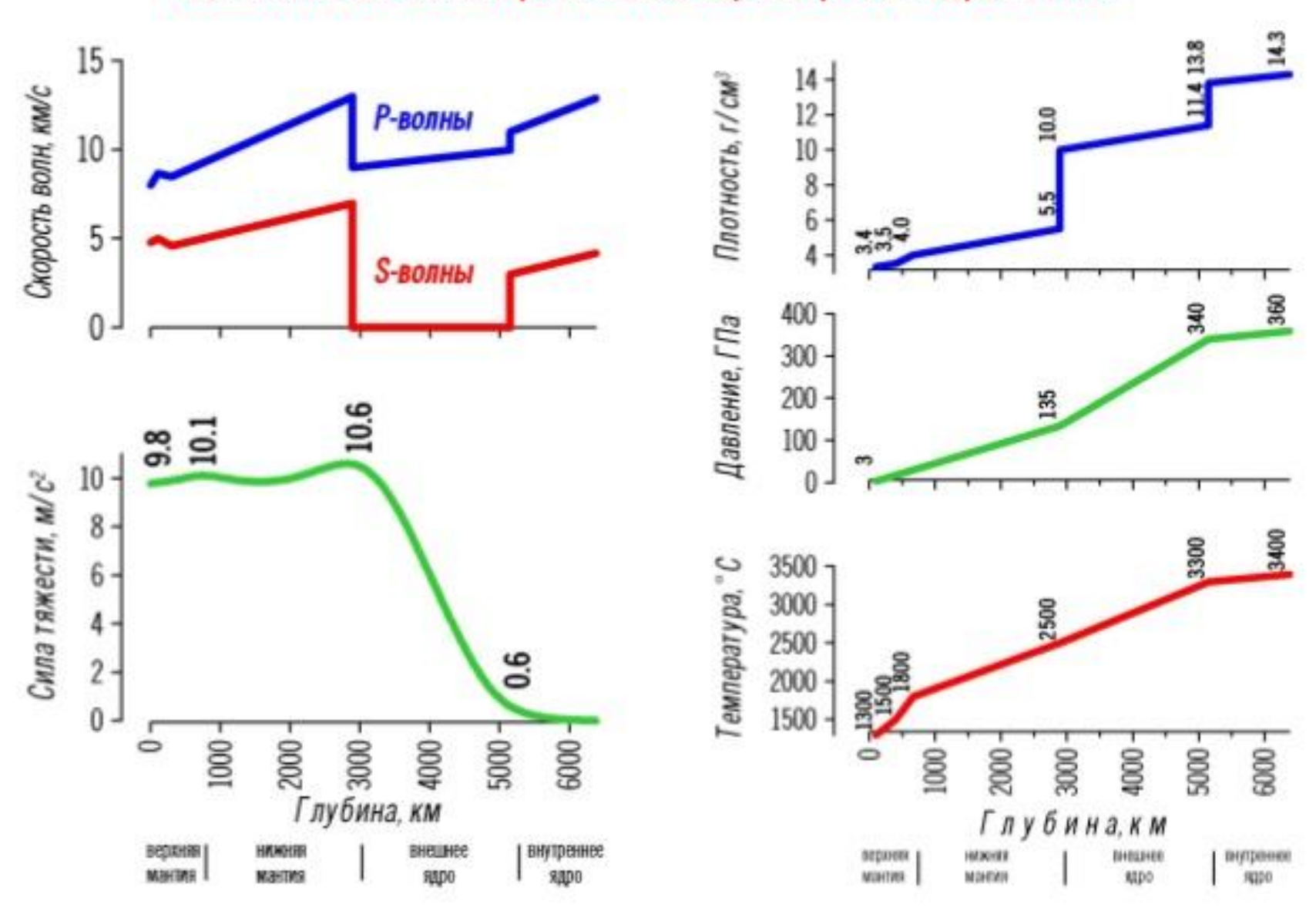


Схема соотношения литосферы, астеносферы и тектоносферы: I- земная кора; II- скоростной твердый слой верхней мантии (слоя В); III- астеносфера; IV- подастеносферный слой верхней мантии (слой Голицына); V-литосфера; VI-тектоносфера; K-континент; O- океан

Изменение основных физических параметров в недрах Земли



Тепловой режим Земли

Средняя величина теплового потока Земли: 1,4-1,5 мккал/см² с

В районе древних кристаллических щитов (Балтийском, Украинском, Канадском), в среднем: 0,85 мккал/см²·с

В равнинных платформенных областях : 1,0-1,2 мккал/см²·с и только местами на отдельных поднятиях увеличивается до 1,3-1,4 мккал/см²·с.

В палеозойских орогенических областях (Урал, Аппалачи): 1,5 мккал/см².с

В Складчатых Карпатах и прилегающих частях внутренних прогибов, в среднем: 1,95 мккал/см^{2.}с, в Предкарпатском прогибе: 1,18 мккал/см^{2.}с

На Кавказе, в зонах поднятий: 1,6-1,8 мккал/см^{2.}с, в складчатом сооружении Большого Кавказа единичные определения: 3,0-4,0 мккал/см^{2.}с

Для юго-восточного погружения Кавказа: значительные колебания тепловых потоков, вблизи грязевых вулканов: 1,9-2,33 мккал/см^{2.}с

В рифтовой системе оз. Байкал: 1,2-3,4 мккал/см²·с

Ложе Мирового океана: 1,1-1,2 мккал/см²·с

Рифтовые долины срединно-океанских хребтов, средняя величина: 1,8-2 мккал/см²·с,

в нескольких местах: 6,7-8,0 мккал/см²·с.

Температура внутри Земли

Геотермический градиент - нарастание температуры в градусах Цельсия на единицу глубины . Средний геотермический градиент: 30°С на 1 км.

Геотермическая ступень - глубина в метрах, определяемая от уровня постоянных температур, на протяжении которой температура повышается на 1° С. Величина Г. с. в различных участках земной коры и на различных глубинах неодинакова и колеблется от 4—5 до 150 м. В среднем Г. с. - 33 м.; в кристаллической толще земной коры около 100 м. На больших глубинах вследствие повышения теплопроводимости с ростом давления предполагается, что рост температуры замедляется, т. е. Г. с. возрастает, а геотермический градиент уменьшается.

Кольская скважина (в пределах устойчивого кристаллического щита платформы):

7 KM - 120°C

10 km - 180°C

12 KM - 220° C.

15 км (предполагается) - около 280° С.

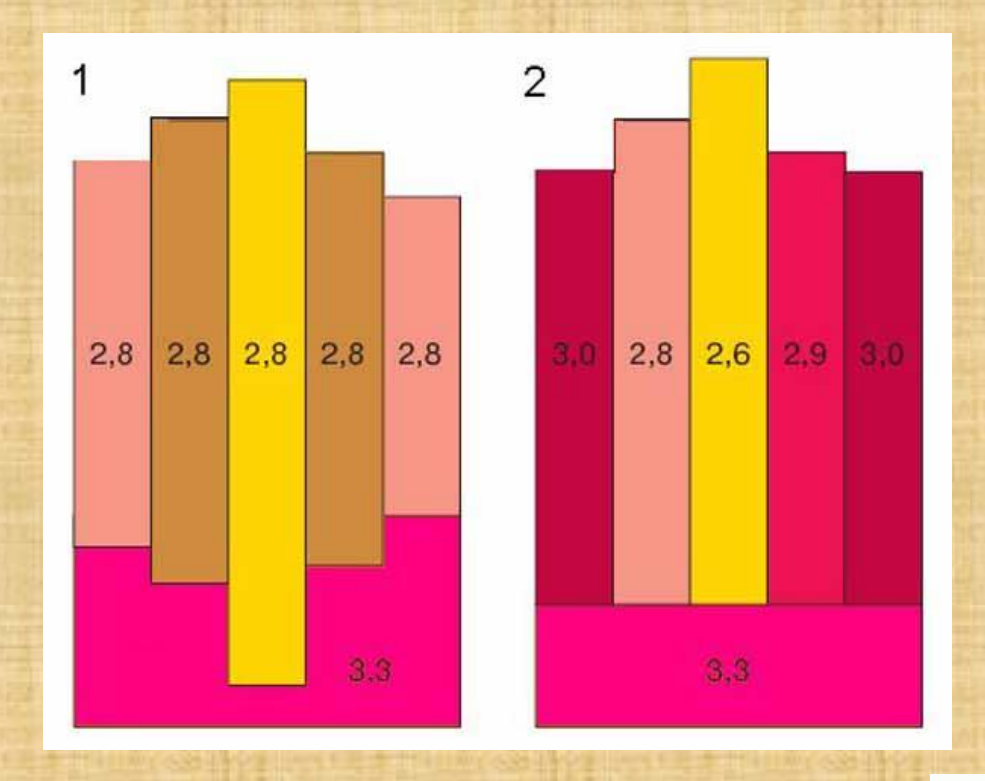
Скважина в Северном Прикаспии:

500 m - 42,2° C

1500 m - 69,9°C

 $2000 \text{ M} - 80,4^{\circ}\text{C}$

3000 M − 108,3°C.



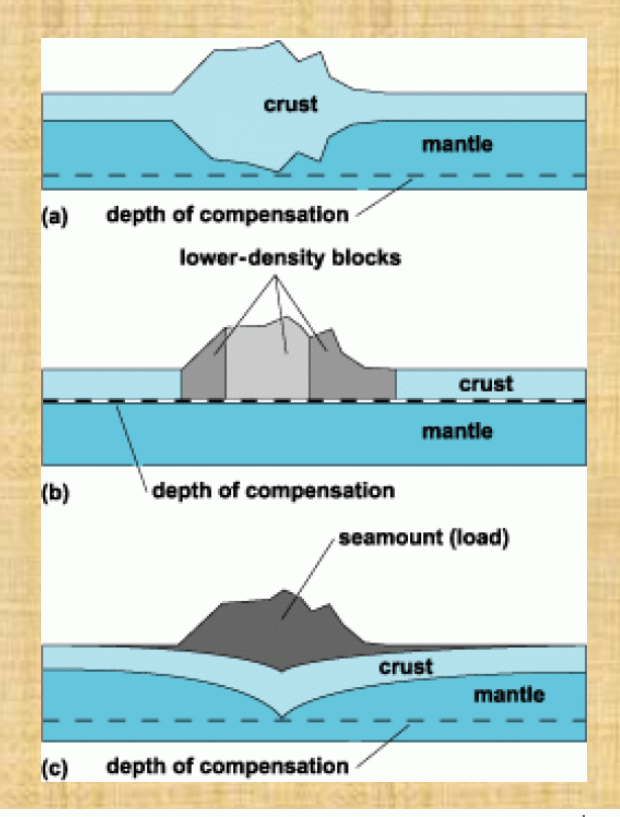
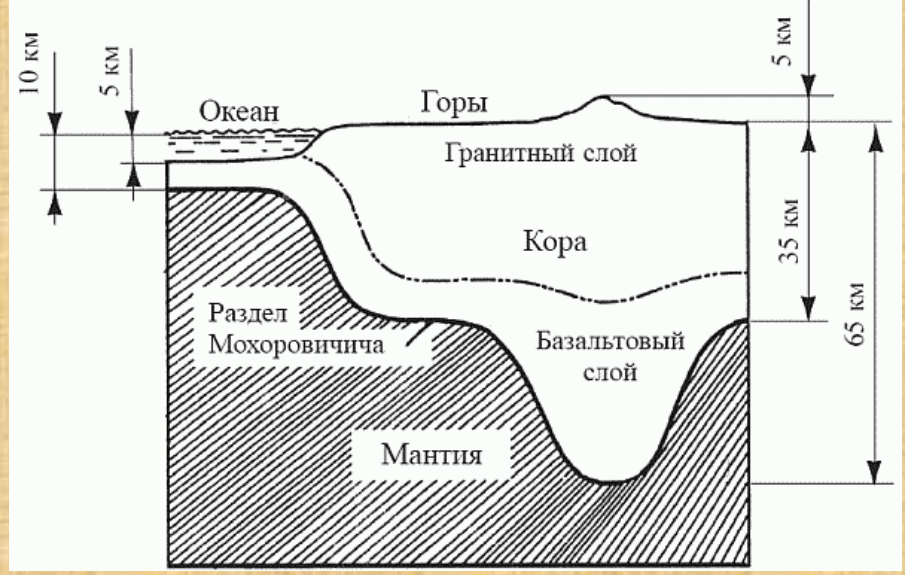
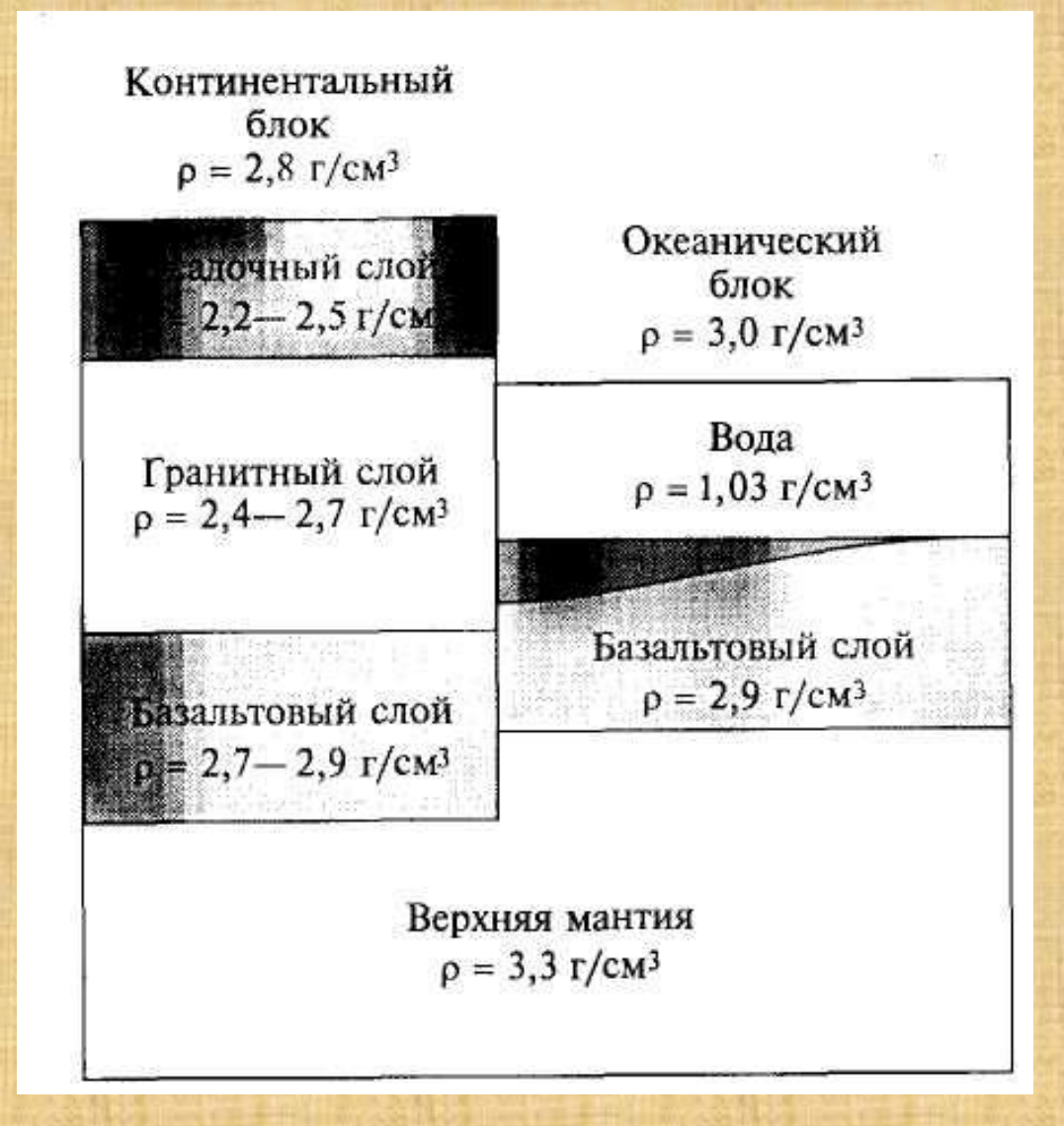


Схема изостатического равновесия земной коры: 1 — по Дж. Эри, 2 — по Ф. Пратту. Цифрами показана плотность материала





Изостатическое равновесие литосферы



Относительная распространенность элементов, вес. % (Б. Мейсон, 1971)

Солнце	Метеориты	Земля (в целом)	Литосфера
H	0	Fe	O
He	Fe	0	Si Si
0	Si	Si	Al
C	Mg	Mg	Fe
N	S	Ni	Ca
Si Si	Ni	S	Na
Mg	Ca	Ca	K
S	Al	Al	Mg
Fe	Na	Na	Ti
Ca	Cr	Cr	Н
Ni	Mn	Mn	P
Na	P	Co	Mn
Al	Co	P	F
Cu	K	K	Ba

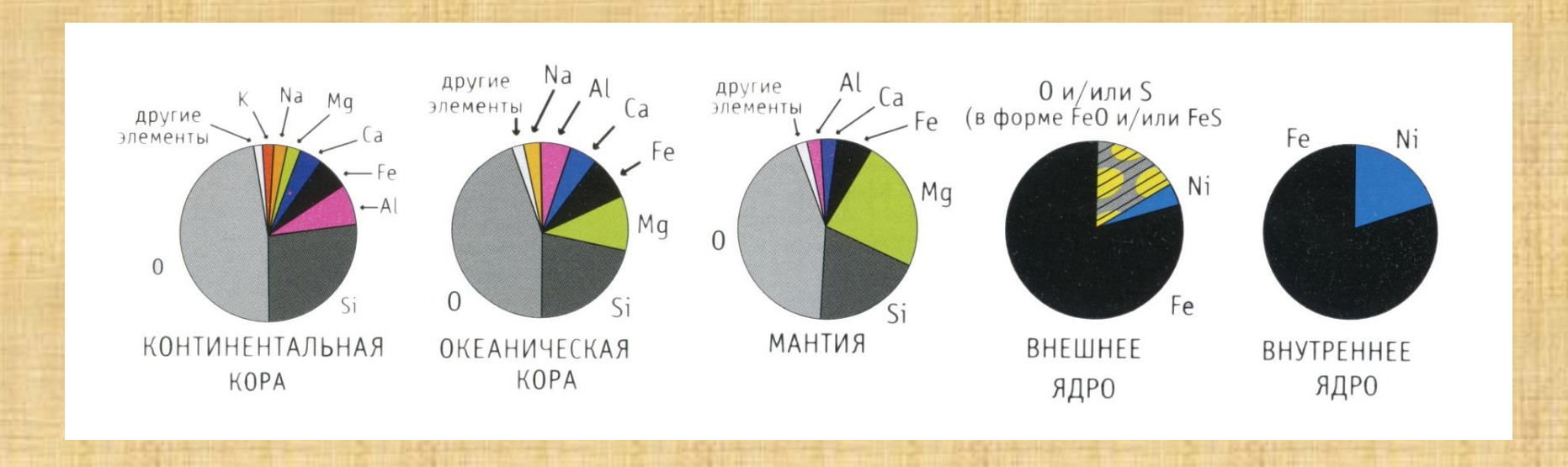
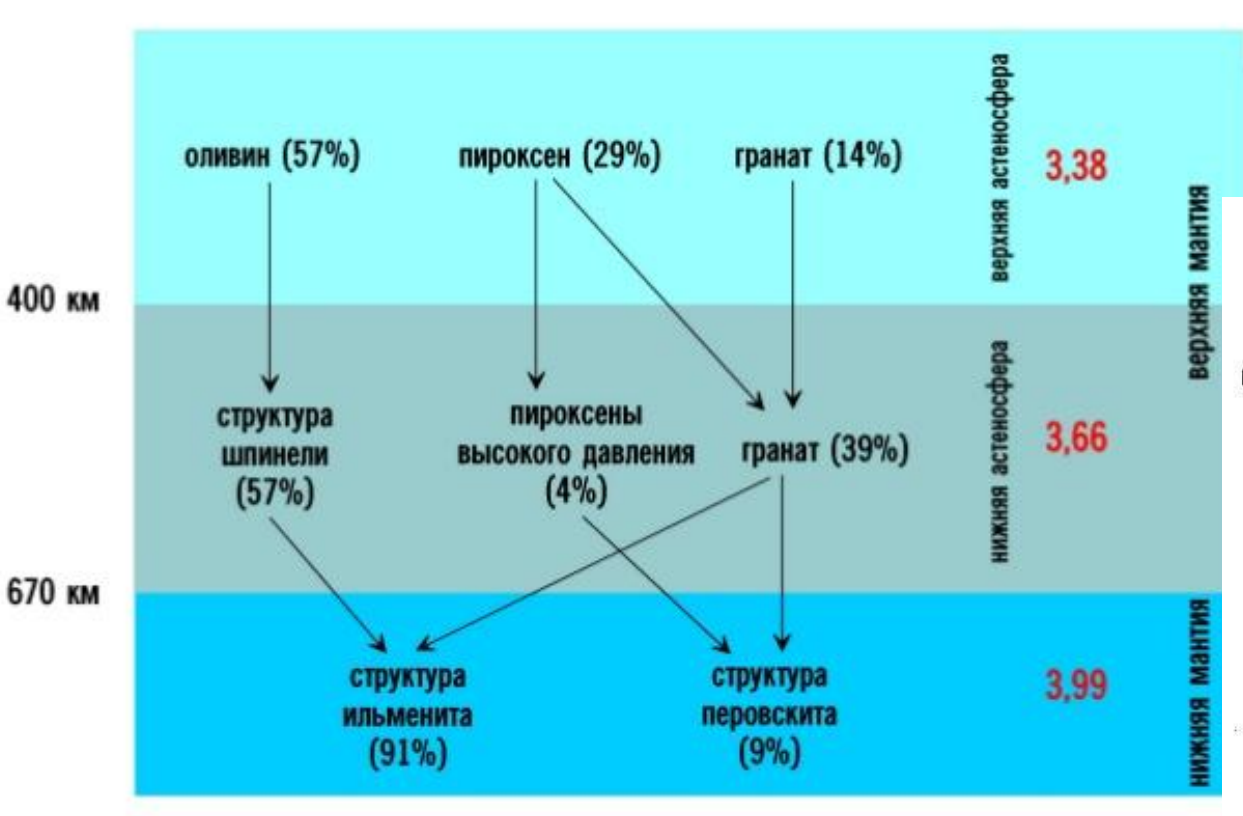


Рис. 2.12 Химический состав земной коры (континентальной, океанической), мантии, ядра (внешнего, внутреннего)

Фазовые переходы в мантии







Песок



Гнейс





Кора выветривания латеритного типа

Геологический цикл формирования горных пород



Гранит



Извержение магмы

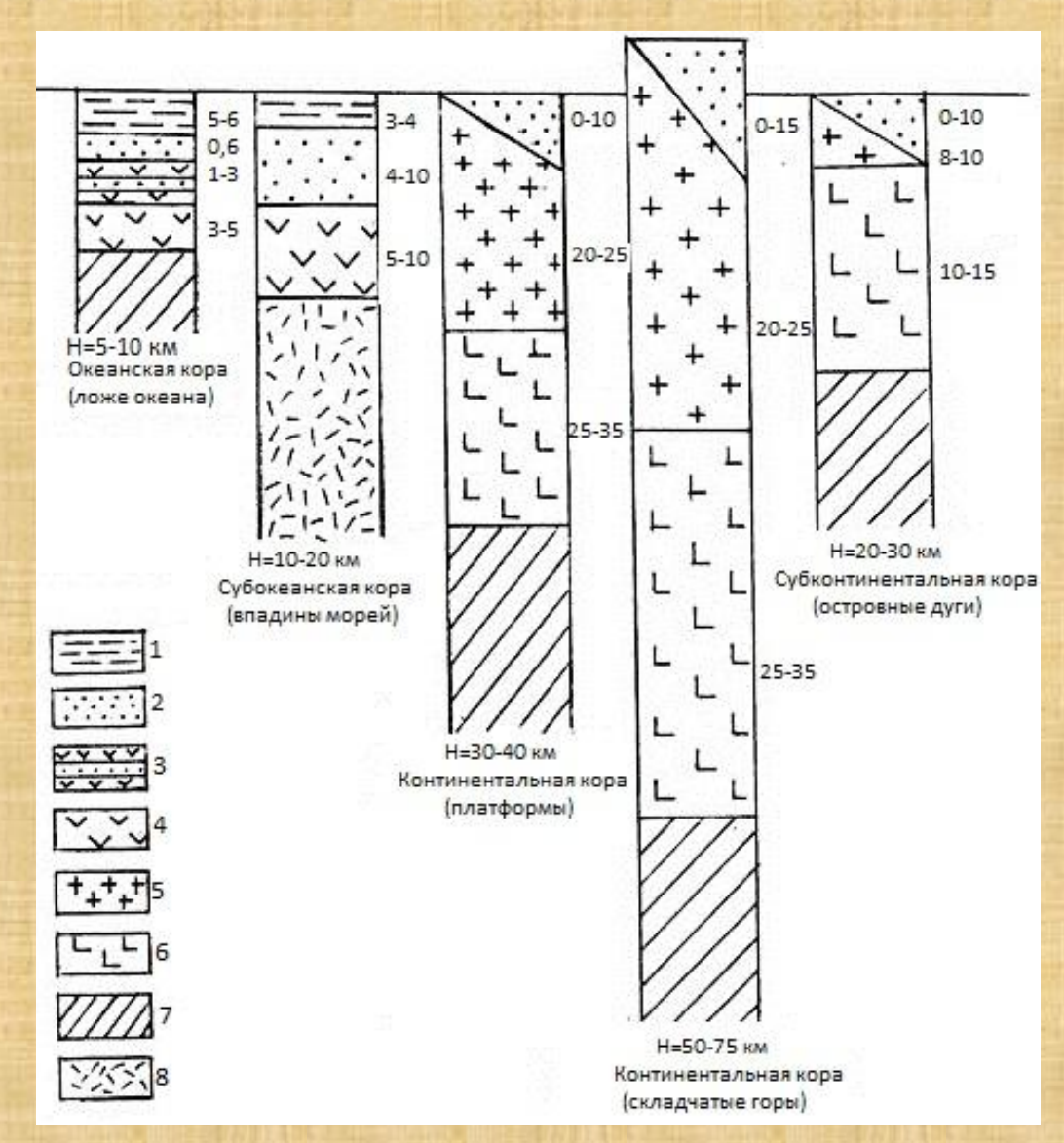


Схема строения различных типов земной коры:

1 - вода, 2 - осадочный слой океанической коры,

3 - переслаивание осадочных пород и базальтов,

4 - базальты и кристаллические ультраосновные породы, 5 — «гранитный» (гранитометаморфический, гранитогнейсовый) слой континентальной коры, 6 — «базальтовый» (гранулитовобазитовый) слой континентальной коры,

7 - нормальная мантия,

8 - разуплотненная мантия

Континентальная земная кора слагает около 41% площади земной поверхности, океаническая – 56%.



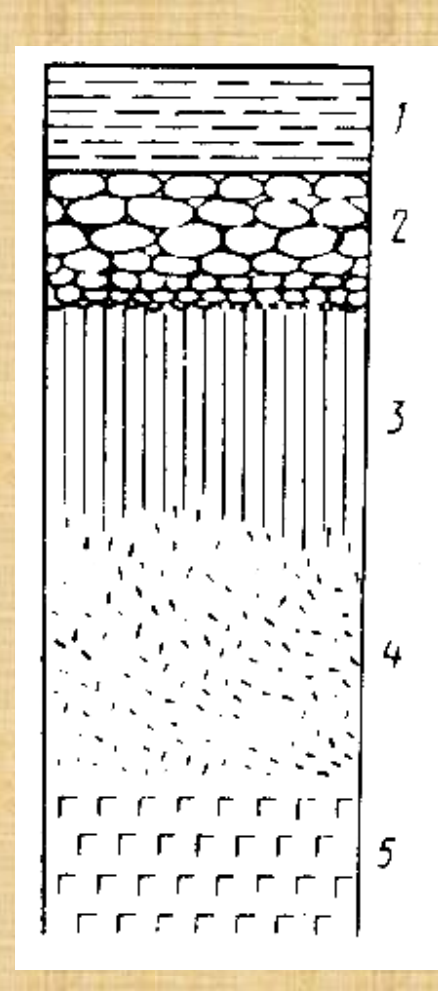


Схема строения офиолитовой ассоциации:

- 1 кремнистые сланцы;
- 2- подушечные толеитовые базальты;
- 3 комплекс параллельных даек;
- 4 расслоенный или кумулятивный комплекс габброидов и амфиболитов;
- 5 ультраосновные породы (часто серпентинизированные (гарцбургиты, дуниты)



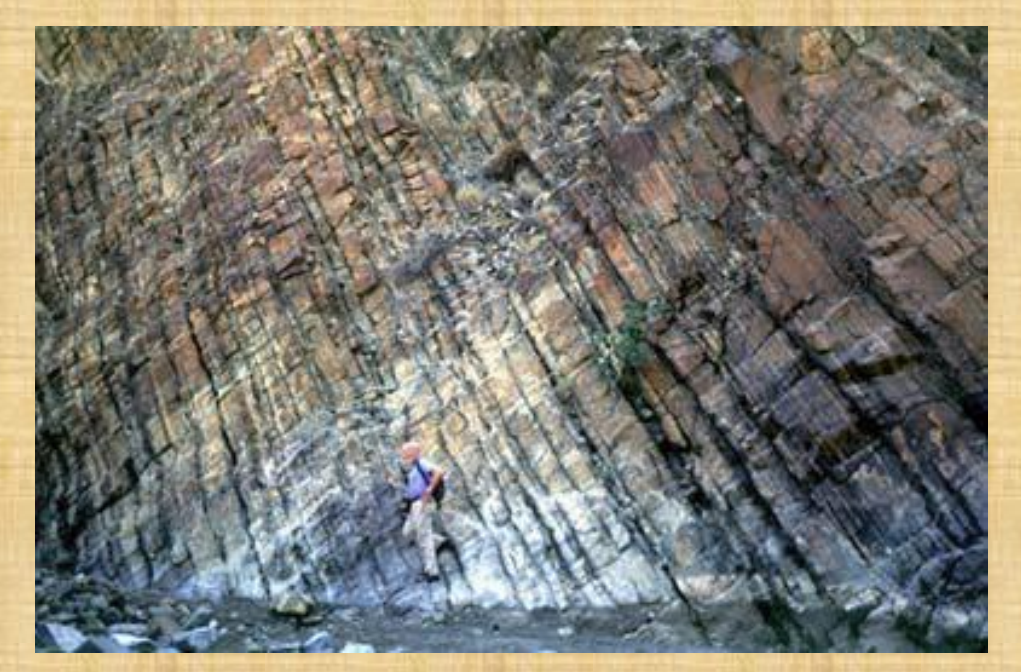
Известняки с прослоями и стяжениями кремней - компонент осадочного чехла океанической коры (о-в Маю, Острова Зеленого Мыса)



Пиллоу - базальты океанической коры (о-в Сантьягу, Острова Зеленого Мыса)



Комплекс параллельных даек (Оман, Аравийский п-ов)



Массивное габбро и полосчатое габбро (Оман , Аравийский п-ов)



Ультраосновные породы (Оман, Аравийский п-ов)